

## АНАЛИЗ И МОДЕЛИРОВАНИЕ СХЕМЫ КОСТАСА ДЛЯ ПРИЕМА 2-ФМ СИГНАЛОВ ПРИ НАЛИЧИИ ДЕТЕРМИНИРОВАННОЙ ПОМЕХИ И БЕЛОГО ГАУССОВСКОГО ШУМА

Д.В. Егоров

demoredim@yandex.ru

МГТУ им. Н.Э. Баумана, Москва, Российская Федерация

**Аннотация**

Проанализированы классическая и модифицированная схемы Костаса для приема 2-ФМ сигнала при наличии детерминированной помехи и белого гауссовского шума. Описаны математические модели схемы Костаса. Представлены имитационные модели и произведен сравнительный анализ двух схем синхронизации

**Ключевые слова**

Модифицированная схема Костаса, схемы синхронизации, фазовая автоподстройка частоты

Поступила в редакцию 05.12.2016

© МГТУ им. Н.Э. Баумана, 2017

Схемы синхронизации играют важную роль в современных радиоэлектронных устройствах и подлежат более тщательному изучению. Сегодня в системах синхронизации существуют множество задач, которые остаются нерешенными. Этот вопрос актуален, так как количество элементов в базовых микросхемах неуклонно растет. Также стремительно увеличивается быстродействие цифровых систем, что влечет за собой ошибки в обработке. Двоичная фазовая манипуляция (2-ФМ), с точки зрения помехозащищенности на единицу ширины полосы, является одним из наиболее эффективных способов модуляции двоичных данных. Тем не менее, специалисты в системах связи часто пренебрегают этим видом модуляции, но на самом деле петля Костаса (демодулятор 2-ФМ) не является математически простой, как частотная манипуляция. Петля Костаса — это сложная математическая модель, которая требует более тщательного изучения. В связи с этим в данной работе рассмотрены два вида схемы Костаса.

**Математическая модель традиционной схемы Костаса.** Рассмотрим математическую модель традиционной схемы Костаса для 2-ФМ сигналов, при которой на полезный информационный сигнал накладываются детерминированная помеха и аддитивный белый гауссовский шум.

Блок-схема петли Костаса приведена на рис. 1, где ФНЧ1, ФНЧ2 и петлевой фильтр — фильтры нижних частот, УГ — управляемый генератор.

Входной сигнал схемы Костаса представляет собой аддитивную смесь 2-ФМ сигнала  $s_c(t)$ , детерминированной помехи  $s_n(t)$  и белого гауссовского шума:

$$s_{\text{вх}}(t) = s_c(t) + s_n(t) + v(t).$$

Будем считать, что полезный 2-ФМ сигнал и помеха имеют вид

$$s_c(t) = \sqrt{2}A_c M(t) \sin(\omega_0 t + \theta_c(t));$$

$$s_{\text{п}}(t) = \sqrt{2} \sum_{i=1}^R A_{\text{п}i}(t) \sin[\omega_0 t + \theta_{\text{п}i}(t)],$$

где  $\sqrt{2}A_c(t)$  и  $\sqrt{2}A_{\text{п}i}(t)$  — правило изменения огибающей сигнала и помехи, в нашем случае это медленно изменяющейся по сравнению с колебанием частоты  $\omega_0$ ;  $M(t)$  — информационная последовательность (телеграфный сигнал, принимающий значения  $\pm 1$ );  $\theta_c(t)$  и  $\theta_{\text{п}i}(t)$  — законы изменения фазы сигнала и помехи.

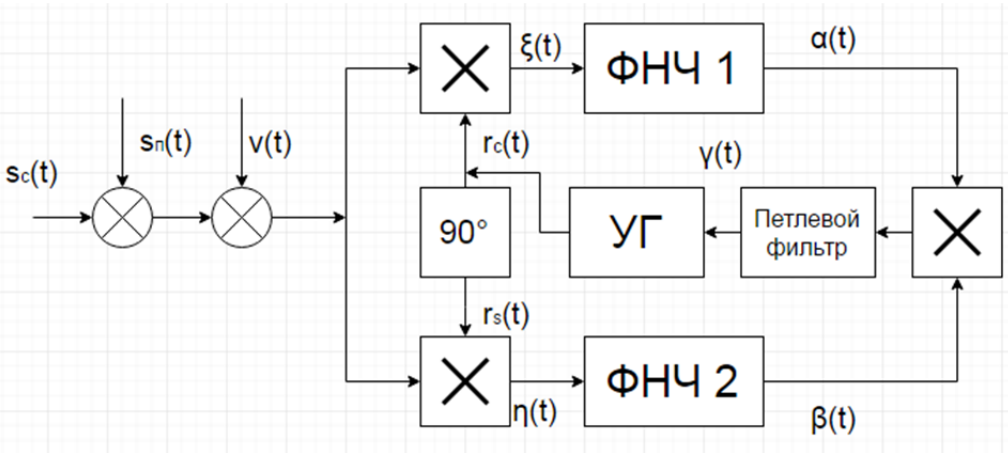


Рис. 1. Функциональная схема традиционной петли Костаса

Аддитивный шум представим в виде

$$v(t) = \sqrt{2}v_c(t) \cos(\omega_0 t) - \sqrt{2}v_s(t) \sin(\omega_0 t),$$

где  $v_c(t)$  и  $v_s(t)$  — некоторые случайные процессы, которые будем считать независимыми и гауссовскими.

Поскольку после перемножителей находятся ФНЧ, которые подавляют гармоники частоты  $2\omega_0$ , то колебание на выходе одного (верхнего на рис. 1) перемножителя при  $r_c(t) = \sqrt{2}A_r \cos(\omega_0 t + \theta_r(t))$  приближенно можно записать в виде

$$\alpha(t) = A_r \left[ A_c M(t) \sin(\theta_c - \theta_r) + \sum_{i=1}^R A_{\text{п}i} \sin(\theta_{\text{п}i} - \theta_r) + v_c \cos \theta_r + v_s \sin \theta_r \right];$$

а на выходе другого перемножителя при  $r_s(t) = \sqrt{2}A_r \sin(\omega_0 t + \theta_r(t))$  в виде

$$\beta(t) = A_r \left[ A_c M(t) \cos(\theta_c - \theta_r) + \sum_{i=1}^R A_{\text{п}i} \cos(\theta_{\text{п}i} - \theta_r) + v_c \sin \theta_r - v_s \cos \theta_r \right].$$

Введем следующие обозначения:

$$\begin{aligned} \varphi(t) &= \theta_c(t) - \theta_r(t); \\ \varepsilon_i(t) &= \frac{A_{ni}(t)}{A_c(t)}; \Delta_i(t) = \theta_{ni}(t) - \theta_c(t); \\ h_1(\varphi, t) &= M(t) \sin(\varphi) + \sum_{i=1}^R \varepsilon_i(t) \sin(\Delta_i + \varphi); \\ h_2(\varphi, t) &= M(t) \cos(\varphi) + \sum_{i=1}^R \varepsilon_i(t) \cos(\Delta_i + \varphi); \\ \upsilon_1(t) &= \frac{1}{A_c} [\upsilon_c \cos(\theta_c - \varphi) + \upsilon_s \sin(\theta_c - \varphi)]; \\ \upsilon_2(t) &= \frac{1}{A_c} [\upsilon_c \sin(\theta_c - \varphi) - \upsilon_s \cos(\theta_c - \varphi)]. \end{aligned}$$

Тогда получим, что

$$\alpha(t) = A_r A_c \tilde{\alpha}(t); \beta(t) = A_r A_c \tilde{\beta}(t),$$

где  $\tilde{\alpha}(t) = [h_1(\varphi, t) + \upsilon_1(t)]; \tilde{\beta}(t) = [h_2(\varphi, t) + \upsilon_2(t)]$ .

Будем считать, что передаточные функции фильтров ФНЧ1 и ФНЧ2 совпадают и равны  $H(s)$ . Передаточная функция фильтра ФНЧ3 равна  $F(s)$ . Пусть рассматриваемые передаточные функции фильтров являются дробно-рациональными:

$$\begin{aligned} H(s) &= \frac{A_0 + A_1 s + \dots + A_{n_1} s^{n_1}}{B_0 + B_1 s + \dots + B_{n_2} s^{n_2}}; \\ F(s) &= \frac{C_0 + C_1 s + \dots + C_{m_1} s^{m_1}}{D_0 + D_1 s + \dots + D_{m_2} s^{m_2}}, \end{aligned}$$

где  $n_1 \leq n_2; m_1 \leq m_2$ .

Рассмотрим случай  $n_1 = n_2 = n$  и  $m_1 = m_2 = m$ . Перейти к случаю  $n_1 < n_2$  можно приняв  $A_n = A_{n-1} = \dots = A_{n_1+1} = 0$ . Аналогично для  $m_1 < m_2$ . В этом случае колебания на выходе фильтров ФНЧ1 и ФНЧ2 запишем в символической форме

$$\xi(t) = H(p)\alpha(t); \eta(t) = H(p)\beta(t),$$

а колебание на выходе фильтра ФНЧ3 представим в виде

$$\gamma(t) = F(p)[\xi(t)\eta(t)].$$

Будем считать, что фаза колебания перестраиваемого генератора связана с управляющим напряжением  $\gamma(t)$  зависимостью

$$\frac{d\theta_r}{dt} = k_r \gamma(t),$$

где  $k_r$  — некоторый постоянный коэффициент.

В этом случае получаем

$$\frac{d\varphi}{dt} = \frac{d\theta_c}{dt} - \frac{d\theta_r}{dt} = \frac{d\theta_c}{dt} - k_r \gamma(t).$$

В итоге имеем систему дифференциальных уравнений, описывающую работу схемы Костаса:

$$B_0 \tilde{\xi} + B_1 \tilde{\xi}' + \dots + B_n \tilde{\xi}^{(n)} = A_0 \tilde{\alpha} + A_1 \tilde{\alpha}' + \dots + A_n \tilde{\alpha}^{(n)};$$

$$B_0 \tilde{\eta} + B_1 \tilde{\eta}' + \dots + B_n \tilde{\eta}^{(n)} = A_0 \tilde{\beta} + A_1 \tilde{\beta}' + \dots + A_n \tilde{\beta}^{(n)};$$

$$D_0 \tilde{\gamma} + D_1 \tilde{\gamma}' + \dots + D_m \tilde{\gamma}^{(m)} = C_0 [\tilde{\xi}\tilde{\eta}] + C_1 [\tilde{\xi}\tilde{\eta}]' + \dots + C_m [\tilde{\xi}\tilde{\eta}]^{(m)};$$

$$\varphi' = \theta_c' - K\tilde{\gamma},$$

где  $\tilde{\xi} = \xi / (A_r A_c)$ ;  $\tilde{\eta} = \eta / (A_r A_c)$ ;  $\tilde{\gamma} = \gamma / (A_r A_c)^2$ ;  $K = k_r (A_r A_c)^2$ .

**Математическая модель модифицированной схемы Костаса.** Рассмотрим математическую модель модифицированной схемы Костаса для 2-ФМ сигналов. Блок-схема модифицированной схемы Костаса показана на рис. 2.

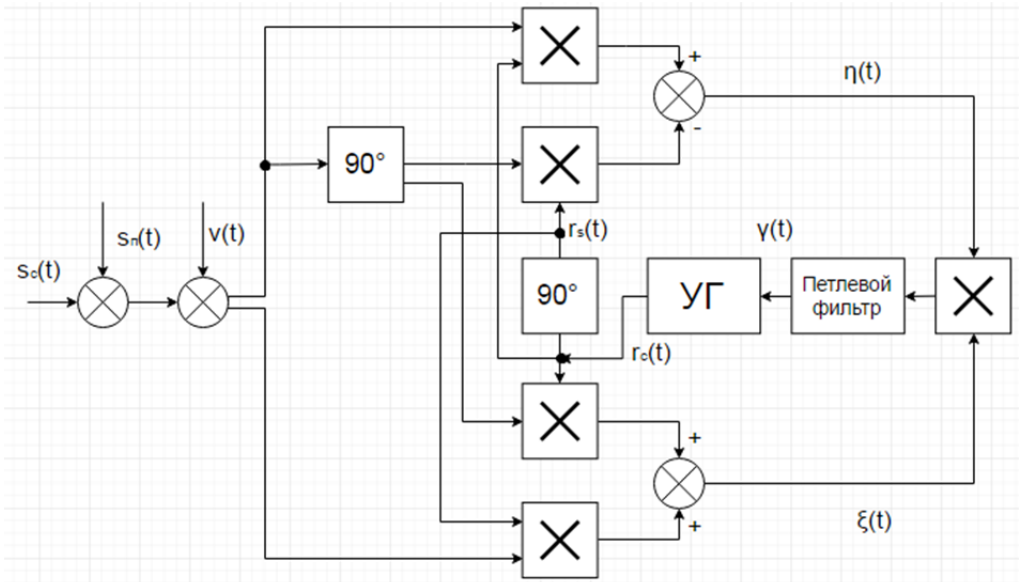


Рис. 2. Функциональная схема модифицированной петли Костаса

Как и в случае с традиционной схемой Костаса, будем считать, что входной сигнал состоит из информационного сигнала  $s_c(t)$ , действующего на него аддитивного белого гауссовского шума  $v(t)$  и детерминированной помехи  $s_{\Pi}(t)$ .

$$s_c(t) = \sqrt{2}A_c M(t) \cos(\omega_0 t + \theta_c(t));$$

$$s_{\Pi}(t) = \sqrt{2} \sum_{i=1}^R A_{\Pi i}(t) \cos[\omega_0 t + \theta_{\Pi i}(t)];$$

$$v(t) = \sqrt{2}v_c(t) \cos(\omega_0 t) - \sqrt{2}v_s(t) \sin(\omega_0 t),$$

Как показано на рис. 2, часть входного сигнала поступает на квадратурный фильтр, при этом на выходе имеем:

$$\widehat{s}_{\text{BX}}(t) = \widehat{s}_c(t) + \widehat{s}_{\Pi}(t) + \widehat{v}(t);$$

где

$$\widehat{s}_c(t) = \sqrt{2}A_c M(t) \sin(\omega_0 t + \theta_c(t)),$$

$$\widehat{s}_{\Pi}(t) = \sqrt{2} \sum_{i=1}^R A_{\Pi i}(t) \sin[\omega_0 t + \theta_{\Pi i}(t)],$$

$$\widehat{v}(t) = \sqrt{2}v_c(t) \sin(\omega_0 t) + \sqrt{2}v_s(t) \cos(\omega_0 t).$$

Затем квадратурные составляющие сигнала поступают на четыре умножителя. Опишем сигнал на выходе первого умножителя при допущении

$$\omega_0 = \omega_{\Gamma},$$

где  $\omega_{\Gamma}$  — выходная частота управляемого генератора.

На вход первого умножителя поступает сигнал

$$r_c(t) s_{\text{BX}}(t) = (s_c(t) + s_{\Pi}(t) + v(t)) \sqrt{2} \cos(\omega_0 t + \theta_{\Gamma}) =$$

$$= M(t) \cos(\theta_c(t) - \theta_{\Gamma}) + M(t) \cos(2\omega_0 t + \theta_c(t) + \theta_{\Gamma}) + \sum_{i=1}^R A_{\Pi i}(t) (\cos(\theta_{\Pi i}(t) - \theta_{\Gamma}) +$$

$$+ v_c \cos \theta_{\Gamma} - v_s \sin \theta_{\Gamma} + v_c \cos(2\omega_0 t + \theta_{\Gamma}) - v_s \sin(2\omega_0 t + \theta_{\Gamma})).$$

На вход второго умножителя поступает сигнал:

$$r_s(t) s_{\text{BX}}(t) = (-1)(s_c(t) + s_{\Pi}(t) + v(t)) \sqrt{2} \sin(\omega_0 t + \theta_{\Gamma}) =$$

$$= -M(t) \cos(\theta_c(t) - \theta_{\Gamma}) + M(t) \cos(2\omega_0 t + \theta_c(t) + \theta_{\Gamma}) +$$

$$+ \sum_{i=1}^R A_{\Pi i}(t) (-\cos(\theta_{\Pi i}(t) - \theta_{\Gamma}) + \cos(2\omega_0 t + \theta_{\Pi i}(t) + \theta_{\Gamma})) +$$

$$+ v_c \cos \theta_{\Gamma} - v_s \sin \theta_{\Gamma} + v_c \cos(2\omega_0 t + \theta_{\Gamma}) - v_s \sin(2\omega_0 t + \theta_{\Gamma})$$

Вычитая аддитивные составляющие значения с выходов первого и второго умножителей получаем в результате:

$$2M(t)\cos(\theta_c(t)-\theta_r)+2\sum_{i=1}^R A_{ni}(t)\cos(\theta_{ni}(t)-\theta_r).$$

Сигналы на выходе второго сумматора имеют вид:

$$2M(t)\sin(\theta_c(t)-\theta_r)+2\sum_{i=1}^R A_{ni}(t)\sin(\theta_{ni}(t)-\theta_r).$$

Далее информативная составляющая и ее квадратура вместе с аддитивным гауссовским шумом поступают на вход пятого умножителя, т. е. умножителя в петле обратной связи:

$$\begin{aligned} & \left( 2M(t)\cos(\theta_c(t)-\theta_r)+2\sum_{i=1}^R A_{ni}(t)\cos(\theta_{ni}(t)-\theta_r) \right) \times \\ & \times \left( 2M(t)\sin(\theta_c(t)-\theta_r)+2\sum_{i=1}^R A_{ni}(t)\sin(\theta_{ni}(t)-\theta_r) \right) = \\ & = 4M(t)M(t)\sin(2(\theta_c(t)-\theta_r))+8M(t)\sum_{i=1}^R A_{ni}(t)\sin(2(\theta_{ni}(t)-\theta_c(t))) + \\ & + 8M(t)\sum_{i=1}^R A_{ni}(t)\sin(\theta_{ni}(t)+\theta_c(t)-2\theta_r)+4\sum_{i=1}^R A_{ni}^2(t)\sin(2(\theta_{ni}(t)-\theta_r)) \end{aligned}$$

При использовании дискриминатора в виде умножителя фазовая ошибка составляет

$$\begin{aligned} & 4\sin(2(\theta_c(t)-\theta_r))+8\sin(2(\theta_{ni}(t)-\theta_c(t))) + \\ & + 8\sin(\theta_{ni}(t)+\theta_c(t)-2\theta_r)+4\sin(2(\theta_{ni}(t)-\theta_r)) \end{aligned}$$

**Моделирование схемы Костаса.** Анализ и моделирование схемы Костаса проводятся при следующих характеристиках сигнала. Несущую частоту примем равной 1 МГц, частоту формирования псевдослучайной последовательности — (ПСП) 50 кГц.  $A_c = 2$  В;  $A_{ni}(t) = 0 \dots 0,1$  В по пилообразному изменению огибающей  $A_r = \frac{1}{\sqrt{2}}$ . ФНЧ 1 и ФНЧ 2 — фильтры Баттерворта 2-го порядка с частотой среза 100 кГц. Частота среза контурного фильтра — 10 кГц. В целом контур ФАП в схемах Костаса имеет второй порядок. В таблице представлены четыре типа дискриминаторов: простое перемножение и прохождение синфазной составляющей через кусочно-линейную функцию, а затем перемножение со второй квадратурой, деление квадратурной составляющей на синфазную, а также арктангенс отношения синфазной и квадратурной составляющих.

Типы дискриминаторов в схеме Костаса

Дискриминационная характеристика	Фазовая ошибка
$fd = \alpha(t)\beta(t)$	$\sin(2\Delta\varphi)$
$fd = \text{sign}(\alpha(t))\beta(t)$	$\sin(\Delta\varphi)$
$fd = \beta(t) / \alpha(t)$	$\text{tg}(\Delta\varphi)$
$fd = \arctg\left(\frac{\beta(t)}{\alpha(t)}\right)$	$\Delta\varphi$

На рис. 3 представлена имитационная модель традиционной схемы Костаса, выполненная в среде Simulink. Подсистема «Сигнал» представляет собой смесь сигнала ПСП с 2-ФМ модуляцией и аддитивных составляющих — белого гауссовского шума и детерминированной помехи. Подсистема «ГУН» состоит из двух стандартных блоков «VCO».

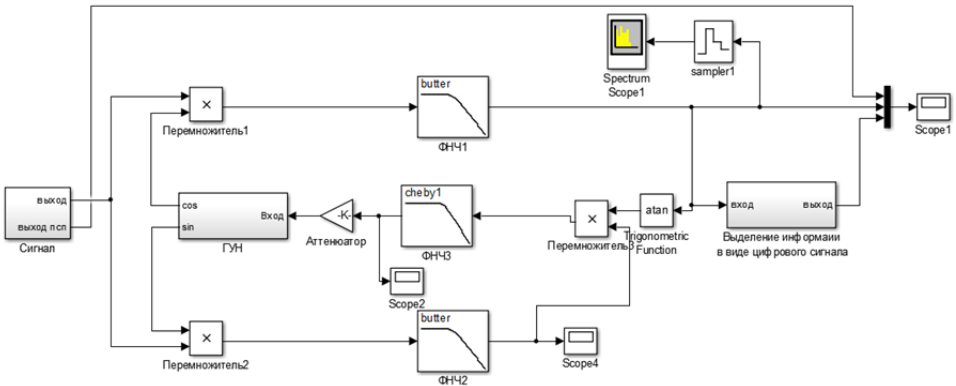


Рис. 3. Имитационная модель традиционной схемы Костаса

На рис. 4 приведена имитационная модель традиционной схемы Костаса, выполненная в среде Simulink. Подсистема «90» состоит из идеального фазовращателя на 90°.

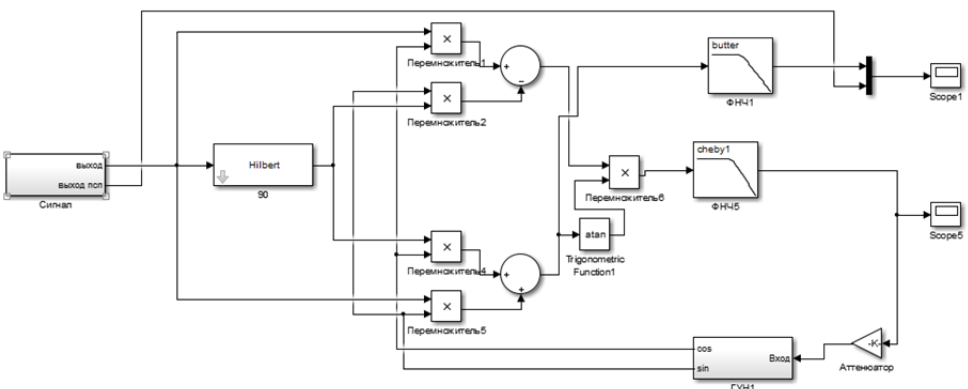


Рис. 4. Имитационная модель модифицированной схемы Костаса

На рис. 5 показаны цифровой поток с ПСП и сигнал на выходе  $I$ -ветви в традиционной схеме Костаса при использовании четвертого типа дискриминатора.

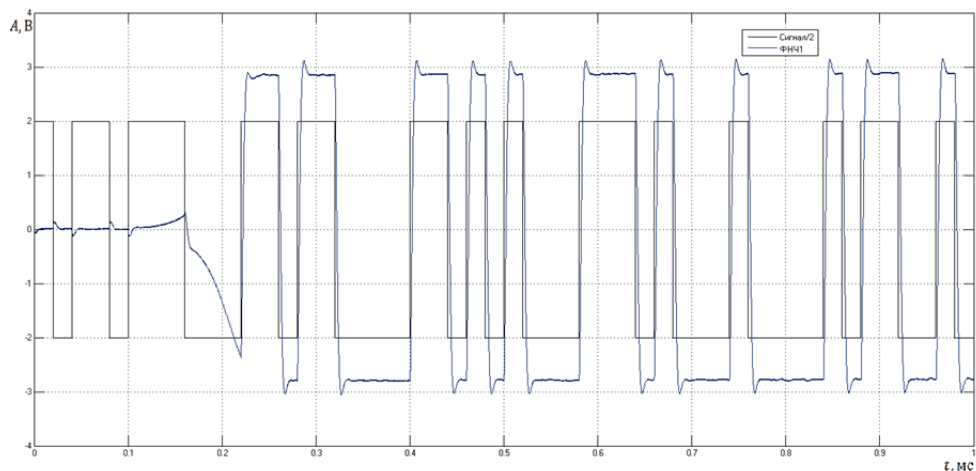


Рис. 5. Переданный и восстановленный потоки ПСП

На рис. 6 представлены переходные процессы на выходе контурного фильтра при  $\omega_0 = \omega_T$ , т. е. при полном отсутствии частотного рассогласования несущего и выходного управляемого генераторов. Как видно из рис. 3, время синхронизации у традиционной схемы Костаса меньше в два раза, чем у модифицированной.

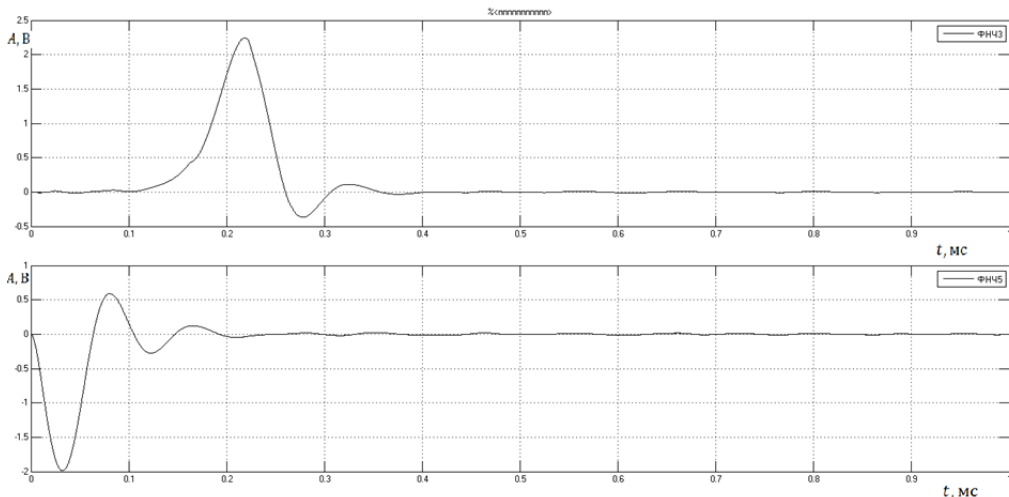


Рис. 6. Переходные процессы на выходе контурного фильтра:

1 — традиционная схема Костаса; 2 — модифицированная схема Костаса ( $\omega_0 = 1$  МГц)

При частотном рассогласовании схема Костаса также входит в синхронизм и обеспечивается слежение за фазой, но лишь при рассогласовании не более  $\pm 1,5$  кГц. На рис. 7 показаны переходные процессы на выходе контурного фильтра при  $\Delta\omega_0 = 3$  кГц, т. е. при рассогласовании частоты несущего сигнала и выхода управляемого генератора. Как видно из рис. 4, вхождения в синхронизм не проис-



ходит. В традиционной и модифицированной схемах Костаса наступает срыв слежения за фазой.

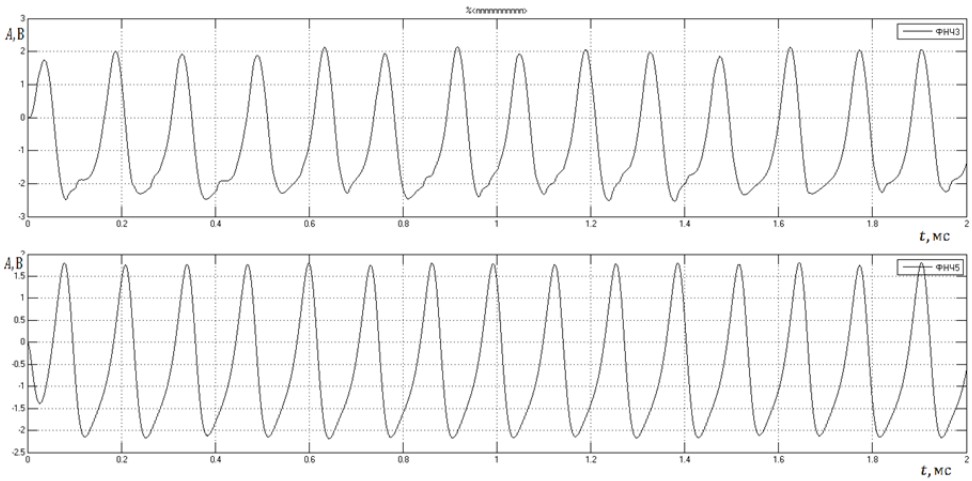


Рис. 7. Переходные процессы на выходе контурного фильтра:

1 — традиционная схема Костаса; 2 — модифицированная схема Костаса ( $\omega_0 = 1,003$  МГц)

Итак, были произведены анализ и моделирование схемы Костаса для приема 2-ФМ сигналов при наличии детерминированной помехи и белого гауссовского шума с использованием традиционной и модифицированной схем Костаса. Замечено, что детерминированная помеха не влияет на работу модифицированной схемы Костаса из-за квадратурного перемножения и последующего вычитания. У традиционной схемы Костаса время вхождения в синхронизм в два раза выше, чем у модифицированной. Модифицированная схема Костаса имеет дополнительные умножители и сумматоры, но не требует фильтрации на удвоенной частоте, как традиционная схема.

### Литература

1. Шахтарин Б.И. Синхронизация в радиосвязи и радионавигации. М.: Гелиос АРВ, 2007. 256 с.
2. Best R.E., Kuznetsov N.V., Leonov G.A., Yuldashev M.V., Yuldashev R.V. Simulation of Analog Costas Loop Circuits // International Journal of Automation and Computing. 2014. № 11. Pp. 571–579.
3. Best R.E., Kuznetsov N.V., Leonov G.A., Yuldashev M.V., Yuldashev R.V. Tutorial on Dynamic Analysis of the Costas Loop // Annual Reviews in Control. 2016. Vol. 42. Pp. 27–49. URL: <http://www.sciencedirect.com/science/article/pii/S1367578816300530>
4. Системы фазовой и частотной автоподстройки частоты // под ред. А.Ф. Фомина. М.: Энергия, 1977. 439 с.
5. Best R.E. Phase Locked Loops: Design, Simulation and Applications. 6th ed. New York: McGraw-Hill, 2007. 490 p.

**Егоров Дмитрий Вениаминович** — магистрант кафедры «Автономные информационные и управляющие системы», МГТУ им. Н.Э. Баумана, Москва, Российская Федерация.

# ANALYSIS AND MODELING OF COSTAS CIRCUIT FOR RECEPTION OF 2-FM SIGNALS WITH DETERMINED INTERFERENCE AND WHITE GAUSSIAN NOISE

D.V. Egorov

demoredim@yandex.ru

Bauman Moscow State Technical University, Moscow, Russian Federation

---

## Abstract

The study tested the classical and modified Costas circuits for reception of a 2-FM signal in the presence of deterministic interference and white Gaussian noise. We describe mathematical models of Costas circuit. We also give simulation models and make a comparative analysis of the two synchronization circuits

## Keywords

Modified Costas circuit, synchronization circuit, phase-lock loop

© Bauman Moscow State Technical University, 2017

---

## References

- [1] Shakhtarin B.I. Sinkhronizatsiya v radiosvyazi i radionavigatsii [Synchronization in radio communication and radio navigation]. Moscow, Gelios ARV Publ., 2007. 256 p. (in Russ.).
- [2] Best R.E., Kuznetsov N.V., Leonov G.A., Yuldashev M.V., Yuldashev R.V. Simulation of Analog Costas Loop Circuits. *International Journal of Automation and Computing*, 2014, no. 11, pp. 571–579.
- [3] Best R.E., Kuznetsov N.V., Leonov G.A., Yuldashev M.V., Yuldashev R.V. Tutorial on Dynamic Analysis of the Costas Loop. *Annual Reviews in Control*, 2016, vol. 42, pp. 27–49. URL: <http://www.sciencedirect.com/science/article/pii/S1367578816300530>
- [4] Fomin A.F. Sistemy fazovoy i chastotnoy avtopodstroyki chastoty [System phase and frequency locked loop]. Moscow, Energiya Publ., 1977. 439 p. (in Russ.).
- [5] Best R.E. Phase Locked Loops: Design, Simulation and Applications. New York, McGraw-Hill, 2007. 490 p.

**Egorov D.V.** — Master's Degree student of the Department of Autonomous Information and Control Systems, Bauman Moscow State Technical University, Moscow, Russian Federation.